

25. А. И. Дремин, О. К. Розанов. Изв. АН СССР, сер. хим., 1964, 8, 1513.  
 26. A. N. Dremin, O. K. Rozanov, V. S. Trofimov. Comb. and Flame, 1963, 7, 153.  
 27. В. С. Трофимов, А. И. Дремин. ФГВ, 1966, 2, 3, 19.  
 28. Р. И. Солоухин. Ударные волны и детонация в газах. М., Физматгиз, 1963.  
 29. Ю. Н. Денисов, Я. К. Трошев. Докл. АН СССР, 1959, 125, 1, 110.  
 30. R. A. Strehlow. Comb. and Flame, 1968, 12, 2, 81.  
 31. А. А. Васильев, Ю. А. Николаев. ФГВ, 1976, 12, 5, 744.

## ИССЛЕДОВАНИЕ ДЕТОНАЦИИ СИЛЬНОРАЗБАВЛЕННЫХ ПОРИСТЫХ ВВ. I. ВЛИЯНИЕ ИНЕРТНОЙ ДОБАВКИ НА ПАРАМЕТРЫ ДЕТОНАЦИИ

*К. К. Шведов, А. И. Анискин, А. Н. Ильин,  
А. П. Дремин  
(Черноголовка)*

Изучение процессов детонации пористых ВВ с добавками представляет большой интерес для развития теории и практического использования энергии взрыва. Введение в ВВ различных добавок дает возможность регулировать энергетику и параметры детонации, критический диаметр и чувствительность к инициирующему импульсу. Управление этими характеристиками и их предсказание невозможно без детального изучения поведения добавок в детонационной волне, которое до настоящего времени недостаточно ясно. В [1] отмечалось, что при детонации сильноразбавленных пористых ВВ наблюдаются некоторые особенности, носящие не только количественный, но и качественный характер и затрагивающие важнейшие стороны теории детонации.

Данная серия работ является продолжением начатых в [1, 2] исследований детонации пористых ВВ с инертными добавками. В ней сделана попытка проследить влияние инертных добавок на критический диаметр, зависимость параметров детонации от диаметра заряда, структуру детонационной волны, время реакции, а также рассмотреть вопрос о расчете параметров детонации смесей ВВ с инертной добавкой.

### Влияние добавки на критические условия распространения детонации в смесях на основе тротила и гексогена

При определении критического диаметра (слоя) и критических параметров стационарность процесса детонации устанавливалась по отпечаткам на пластине-свидетеле или измерениями параметров детонации на зарядах различной длины. Длина зарядов достигала 40 калибров, что позволяло обнаруживать затухание детонации, которое иногда не заметно на коротких (5–10 калибров) зарядах. В этих опытах отмечено влияние металлической подложки на стационарность процесса детонации и критический диаметр. Так, наличие стальной подложки толщиной 2–6 мм в слоевых зарядах ТНТ – NaCl заметно снижало  $\Delta_{kp}$  в смесях с содержанием NaCl до 50%, а при 75% NaCl влияние подложки не отмечалось: в слоях с  $\Delta = 20$  мм детонация затухает, а при  $\Delta = 25$  мм она распространяется устойчиво независимо от наличия или отсутствия подложки. В смесях гексогена с 85% NaCl стальная подложка толщиной 4 мм снижает  $d_{kp}$  приблизительно на 5 мм (в слоях с  $\Delta = 20$  мм без подложки детонация затухает, а с подложкой распространяется устойчиво). Полученные результаты показывают, что степень влияния подложки

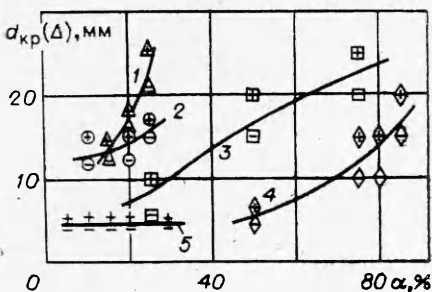


Рис. 1. Зависимость  $d_{kp}$  от процентного содержания добавок в смесях:  
1 — ТНТ-тальк (данные Л. Н. Стесика);  
2 — ТНТ-парафин [3]; 3 — ТНТ- $\text{NaCl}$ , слоевой заряд; 4 — гексоген- $\text{NaCl}$ , цилиндрический заряд; 5 — гексоген — парафин [3].

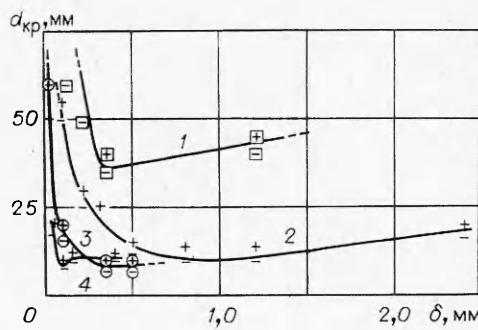


Рис. 2. Зависимость критического диаметра от размера частиц добавки.  
1 — гексоген + 75%  $\text{BaSO}_4$ ; 2 — гексоген + 75%  $\text{Al}_2\text{O}_3$ ; 3 — гексоген + 75%  $\text{SiC}$ ; 4 — ТНТ + 25%  $\text{NaCl}$ .

в слоевых зарядах или оболочки в цилиндрических зависит не только от природы ВВ, но и от процентного содержания добавки  $\alpha$  и уменьшается по мере ее роста.

Влияние процентного содержания  $\text{NaCl}$  с размером частиц 0,1—0,5 мм на критический диаметр (слой) детонации в смесях с тротилом и гексогеном в зарядах насыпной плотности показано на рис. 1. Общей закономерностью, как видно из рис. 1, является постоянство критического размера заряда с увеличением  $\alpha$  до определенного состава, а затем — существенный рост. Для смесей ТНТ- $\text{NaCl}$  заметный рост  $\Delta_{kp}$  наблюдается при  $\alpha > 25$ , а для смесей гексоген- $\text{NaCl}$  при  $\alpha > 50$ . В смесях тротила с парафином и тальком критический диаметр заметно увеличивается при меньших  $\alpha$ , чем для смесей с  $\text{NaCl}$ . Абсолютная величина критического размера заряда смесей с  $\text{NaCl}$  при  $\alpha \leq 25$  оказывается ниже, чем для смесей с парафином и тальком, и близка к значению для чистого ВВ без добавки. Аналогично в смесях гексогена с парафином и  $\text{NaCl}$  при  $\alpha \leq 50$  критический диаметр остается на уровне индивидуального ВВ. Наблюдаемый вид зависимости критического размера заряда от процентного содержания добавки, исходя из соображений [4], может быть связан с одновременным влиянием нескольких факторов. В основном инертные добавки могут оказывать влияние на процессы детонации и критический диаметр следующими путями: увеличение или сокращение числа «горячих точек» и времени реакции; изменение уравнения состояния и инерционности среды (тяжелая добавка препятствует разлету продуктов); как источник потерь энергии ВВ (сжатие, разгон, прогрев и испарение добавки). Возникает вопрос о том, какие из этих факторов являются определяющими.

Если разбавитель действует, в основном как внутренняя оболочка, то замена его на более тяжелый должна бы приводить к снижению критического размера заряда. Однако замена  $\text{NaCl}$  ( $\rho = 2,16 \text{ г}/\text{cm}^3$ ) на  $\text{BaSO}_4$  ( $\rho = 4,5 \text{ г}/\text{cm}^3$ ) в смесях с тротилом (75/25) показала затухание детонации в слоях толщиной 60 мм. Сильное увеличение  $\Delta_{kp}$  в этих опытах, вероятно, связано с уменьшением размеров зерна добавки. Размер исходных частиц  $\text{BaSO}_4$  составлял  $\leq 0,2$  мм. Для следующей серии экспериментов применявшаяся поваренная соль марки «Экстра» (исходное зерно 0,5—1,0 мм) была перетерта до размеров зерна, близких к  $\text{BaSO}_4$ . Опыты на тротиле с 75%  $\text{NaCl}$  этой партии показали затухание детонации в слое 30 мм. Таким образом, при близких размерах частиц роль удельного веса не является определяющей. Сильное влияние размеров частиц добавки на критический размер заряда указывает на ее явное участие либо в создании «горячих точек», либо в поглощении энергии ВВ.

Чтобы разделить эти две возможности, рассмотрим более подробно влияние дисперсности и природы добавки на критический диаметр в зарядах насыпной плотности (рис. 2). Данные для тротила получены при содержании SiC 25%, что соответствует приблизительно минимуму кривой  $\Delta_{kp}(\alpha)$  в смесях с NaCl. Результаты по смесям гексогена получены в области роста зависимости  $d_{kp}(\alpha)$  ( $\alpha = 75\%$ ). Из рис. 2 видно, что в обоих случаях вид кривых  $d_{kp}(\delta)$  подобен. Он характеризуется наличием минимума при некотором характерном размере зерна  $\delta^*$ . При  $\delta < \delta^*$  наблюдается сильный рост  $d_{kp}$ , а при  $\delta > \delta^*$  критический размер заряда постоянен или незначительно возрастает. Подобная кривая получена в работе [5] для смесей NaCl с мелкодисперсным ( $\delta \approx 4$  мкм) гексогеном (85/15). Использование добавок с различными свойствами не приводит к качественному отличию в зависимости  $d_{kp}(\delta)$  в пористых ВВ, а влияет лишь на численные значения  $d_{kp}$ .

Наличие минимума на зависимостях  $d_{kp}(\alpha)$  и  $d_{kp}(\delta)$  имеет некоторую аналогию с жидкими ВВ, подробные исследования которых проведены в [6]. Так, в интрометане резко (в несколько раз) снижается  $d_{kp}$  при увеличении  $\alpha$  до 20—30%, появляется достаточно широкое плато при  $\alpha = 30 - 60\%$  и сильно растет  $d_{kp}$  при дальнейшем увеличении  $\alpha$ . Значительно снижается  $d_{kp}$  также при введении небольших количеств инертных добавок и в твердых сплошных ВВ [7]. Снижение  $d_{kp}$  объясняется увеличением числа очагов и сокращением времени реакции, а рост при большом  $\alpha$  — потерями энергии на добавку. В жидких ВВ также наблюдается минимум на зависимости  $d_{kp}(\delta)$  при фиксированном  $\alpha$ . Наличие его связывается с критическими размерами очагов [8].

Кажется, что с этих позиций можно объяснить наблюдаемые зависимости  $d_{kp}(\alpha)$  и  $d_{kp}(\delta)$  в пористых ВВ с добавками. Однако нужно отметить следующее. В пористых системах даже при оптимальных  $\alpha$  и  $\delta$  добавки критический диаметр (слой) в основном остается на уровне индивидуального ВВ или растет. Поэтому естественно в первом приближении предположить, что первоначальное число очагов реакции достаточно велико и роль добавки в их создании несущественна. Это, конечно, не отрицает возможности в некоторых случаях и специфического влияния добавки непосредственно на процессы инициирования реакции и в пористых ВВ. Но названные эффекты трудно обнаружить на основе измерений только критического диаметра и необходимы прямые данные по времени разложения.

В [2] отмечалось, что в смесях ТНТ — NaCl при увеличении процентного содержания NaCl с 25 до 75% (см. рис. 1) толщина критического слоя детонации возрастает в 3 раза, но время реакции, определенное по химпику в идеальных режимах детонации, увеличивается мало, несмотря на уменьшение приблизительно в 3 раза давления детонации. Однако в области оптимальных  $\alpha$  (10—30%) время реакции смесей ТНТ — NaCl не отличается от времени реакции индивидуального пористого порошка при одипаковом давлении, что свидетельствует в пользу высказанного предположения. На это же указывает, видимо, и то, что критические диаметры в смесях тротила с тальком и парафином при  $\alpha < 20\%$  (см. рис. 1, 1, 2) близки между собой и мало отличаются от критического диаметра индивидуального ВВ, хотя, как известно, добавление 10—20% талька при испытаниях к удару на копре увеличивает чувствительность тротила в несколько раз, а парафин является хорошим флегматизатором [9].

При  $\alpha > 20$  влияние талька и парафина на  $d_{kp}$  качественно противоположно тому, которое можно было ожидать по аналогии с данными копровых испытаний. Незаметна флегматизирующая роль парафина и в пористых системах с гексогеном. Критический диаметр при увеличении процентного содержания парафина от 5 до 28% остается на уровне индивидуального ВВ и совпадает с данными для NaCl. В смесях NaCl с тро-

тилом  $d_{kp}$  ниже, чем в смесях с тальком и парафином, но также близок к чистому тротилу. В смесях с тротилом вместо NaCl использовался также карбид кремния (более твердая и тугоплавкая добавка). Однако и в этом случае заметно снизить критический диаметр по сравнению с индивидуальным ВВ не удалось. При оптимальном размере зерна  $\delta^*$  он оказался близок к значению для NaCl (см. рис. 1).

Более определенно влияние индивидуальных свойств добавок можно проследить в сильно разбавленных смесях с гексогеном (рис. 2, 1—3). При оптимальном размере частиц добавки и равном массовом содержании ее в смеси наблюдается корреляция критического диаметра с температурой плавления добавки. Добавкам с низкой температурой плавления соответствует большой критический диаметр. Так, в смесях гексогена с 75%  $B_2O_3$  ( $T_{пл} = 450^\circ C$ ) критический диаметр составляет около 40 мм, а в смесях с SiC,  $Al_2O_3$  ( $T_{пл} = 2700, 2015^\circ C$ ) он уменьшается до 8 мм. Данные по NaCl занимают промежуточное положение. Использование в качестве добавки частиц сплава церезин — канифоль 15/85 ( $T_{пл} = 70^\circ C$ ,  $\delta = 2,5$  мм) приводило к затуханию детонации в зарядах с  $d = 80$  мм. Поскольку температура плавления  $B_2O_3$  выше температуры плавления и вспышки ВВ, то в смысле создания очагов реакции эту добавку можно рассматривать как сенсибилизатор. Поэтому увеличение  $d_{kp}$  по сравнению с твердыми и тугоплавкими добавками при оптимальном размере частиц связано, видимо, с потерями на прогрев и плавление добавки. Оценки показывают, что на плавлении  $B_2O_3$  расходуется приблизительно в 2 раза больше тепла, чем на NaCl при одинаковой глубине прогрева.

При прочих равных условиях потери на прогрев зависят от площади поверхности. При изменении размеров частиц добавки их поверхность в единице объема смеси меняется как  $1/\delta$ . Качественно кривая  $d_{kp}(\delta)$  похожа на эту зависимость в области  $\delta > \delta^*$  (см. рис. 2). В области  $\delta > \delta^*$  поверхность слабо уменьшается, а  $d_{kp}$  слабо растет. Это кажущееся противоречие объясняется тем, что при  $\delta > \delta^*$  потери на прогрев малы по сравнению с теплотой взрывчатого превращения ВВ, и этот фактор практически перестает работать, при этом критический диаметр должен оставаться постоянным. Незначительный рост его связан, видимо, со слабым увеличением плотности смеси, которое в настоящих опытах имело место при увеличении размеров частиц добавки. Таким образом, из приведенных данных и соображений следует, что характерный размер частиц  $\delta^*$ , при котором критический диаметр минимален, определяется главным образом условиями отсутствия тепловых потерь на добавку. Этот вывод подтверждается данными по зависимости скорости детонации от размера частиц добавки в сильно разбавленных смесях.

#### **Влияние процентного содержания, природы и дисперсности добавки на скорость детонации в зарядах различного диаметра**

Само существование и вид зависимости скорости детонации от диаметра заряда в конденсированных ВВ отражает суть физико-химических процессов, происходящих в зоне реакции, и дает полезную информацию для развития соображений о механизме превращения вещества. Наиболее типичным для несплошных твердых ВВ (литые, прессованные, насыпные заряды) является плавный рост скорости детонации с увеличением диаметра заряда и выход на плато. В некоторых случаях обнаружены S-образные и скачкообразные зависимости скорости детонации от диаметра заряда. Как правило, S-образные зависимости  $D(d)$  наблюдаются в смесевых ВВ и объясняются различным временем реакции компонентов смеси [10, 11]. Скачки скорости детонации на 350—500 м/с при незначительном изменении диаметра заряда в некоторых смесях гексогена с парафином и тальком связывались в работах [3, 11] с качественным изменением процесса разложения ВВ — переходом от горения с поверхности

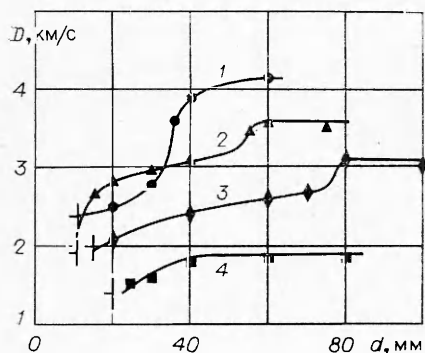


Рис. 3. Зависимость скорости детонации от диаметра заряда в смесях тротиля с добавками.

1 — 25 % SiC; 2 — 25 % NaCl; 3 — 50 % NaCl, 4 — 70 % NaCl; знаками  $\downarrow$  отмечен диаметр заряда, при котором детонация затухает для каждой кривой.

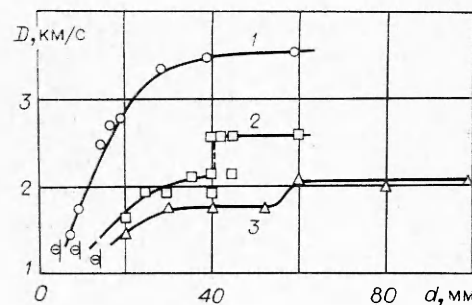


Рис. 4. Зависимость скорости детонации от диаметра заряда в смесях гексогена с добавками.

1 — 80 % Ba(NO<sub>3</sub>)<sub>2</sub>; 2 — 80 % NaCl; 3 — 85 % NaCl; знаками  $\downarrow$  отмечен диаметр заряда, при котором детонация затухает для каждой кривой.

к гомогенной реакции в объеме. Типичный пример скачкообразной зависимости  $D(d)$  — переход режима нормальной детонации в низкоскоростную в узком интервале изменения диаметра заряда. При этом для пористых зарядов тротиля, гексогена, тэна, тетрила насыпной плотности скорость детонации скачком уменьшается приблизительно с 4 до 2 км/с [12, 13]. В пористых системах с инертной добавкой на основе одного и того же ВВ в зависимости от процентного содержания, природы и дисперсности добавки реализуются все перечисленные типы зависимостей  $D(d)$ . Это указывает, с одной стороны, на сложность физико-химических процессов в зоне реакции смесевых систем, а с другой — на некоторую аналогию с индивидуальными ВВ.

На рис. 3 показано влияние процентного содержания и природы добавки на скорость детонации в смесях с тротилем. В смесях с SiC зависимость  $D(d)$  имеет S-образный вид, в смесях с NaCl ( $\alpha = 25$  и 50%) она ближе к скачкообразной зависимости. С увеличением  $\alpha$  амплитуда скачка и минимальная скорость, при которой он наблюдается, уменьшаются и растет диаметр заряда. В смеси с 75% NaCl в исследованном диапазоне диаметров заряда скачков не отмечается. Подобные зависимости  $D(d)$  наблюдаются в смесях NaCl с гексогеном (рис. 4). При  $\alpha = 80\%$  и  $d \approx 40$  мм наблюдается явно выраженный скачок скорости детонации на 400 м/с, который едва заметен в смеси с  $\alpha = 85\%$ . В смеси гексоген — Ba(NO<sub>3</sub>)<sub>2</sub> 20/80 зависимость  $D(d)$  имеет плавный вид с выходом на плато. При этом максимальное значение  $D = 3,6$  км/с на 1 км/с превышает скорость детонации смеси с NaCl того же состава, что, возможно, связано с разложением Ba(NO<sub>3</sub>)<sub>2</sub> и дополнительным вкладом за счет этого в тепловыделение до поверхности Чепмена — Жуге.

В исследованных смесях использовались полидисперсные добавки с размером частиц больше и меньше характерного размера  $\delta^*$  кривой  $d(\delta)$ , за исключением Ba(NO<sub>3</sub>)<sub>2</sub>. В таблице приведен фракционный состав (в %) NaCl (х. ч., ГОСТ 4233—66) до и после смешивания с гексогеном в течение 20 мин на рольгангах. Видно, что при смешивании происходит дробление частиц и существенно увеличивается доля мелких фракций. При обсуждении данных по зависимости  $d_{kp}(\delta)$  отмечалось, что характерный для смесей с гексогеном размер частиц NaCl  $\delta^* \approx 0,4$  мм. Основная масса смеси имеет размеры боль-

$\delta$ , мм	Исходное состояние	После смешивания
1,0	5	0
0,8—1,0	21	3,0
0,63—0,8	15	8,0
0,5—0,63	14	30,0
0,4—0,5	20	17,0
< 0,4	25	42,0

и меньшие характерного размера  $\delta^*$  кривой  $d(\delta)$ , за исключением Ba(NO<sub>3</sub>)<sub>2</sub>. В таблице приведен фракционный состав (в %) NaCl (х. ч., ГОСТ 4233—66) до и после смешивания с гексогеном в течение 20 мин на рольгангах. Видно, что при смешивании происходит дробление частиц и существенно увеличивается доля мелких фракций. При обсуждении данных по зависимости  $d_{kp}(\delta)$  отмечалось, что характерный для смесей с гексогеном размер частиц NaCl  $\delta^* \approx 0,4$  мм. Основная масса смеси имеет размеры боль-

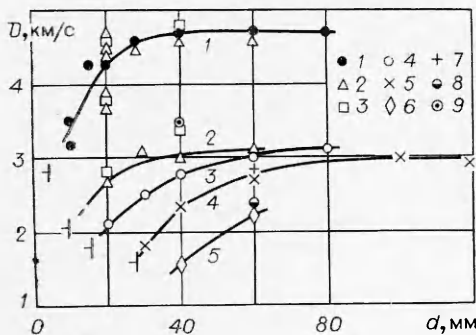


Рис. 5. Зависимость скорости детонации от диаметра заряда в смесях гексоген-добавка.

1 —  $\text{Al}_2\text{O}_3$ ,  $\delta=0,5$  мм; 2 —  $\text{NaCl}$ ,  $\delta=0,5$ ; 3 —  $\text{NaCl}$ ,  $\delta=1,2$ ; 4 —  $\text{Al}_2\text{O}_3$ ,  $\delta=0,12$ ; 5 —  $\text{SiC}$ ,  $\delta=0,12$ ; 6 —  $\text{NaCl}$ ,  $\delta<0,2$ ; 7 —  $\text{B}_2\text{O}_3$ ,  $\delta=1,4$ ; 8 —  $\text{B}_2\text{O}_3$ ,  $\delta=0,35$ ; 9 — смесь  $\text{Al}_2\text{O}_3$  ( $\delta=0,5$ ) и  $\text{Al}_2\text{O}_3$  ( $\delta=0,12$  мм) 50/50.

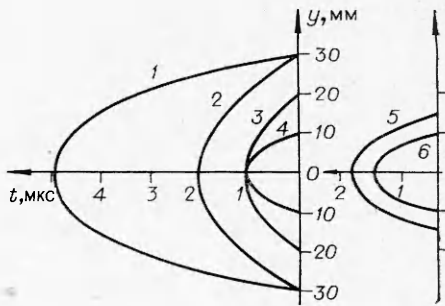


Рис. 6. Кривые запаздывания по времени перед ферийных участков детонационного фронта при различных размерах заряда.

1 — гексоген —  $\text{NaCl}$  15/85; 2—4 — гексоген —  $\text{Ba}(\text{NO}_3)_2$  20/80, цилиндрические заряды; 5 — ТНТ- $\text{NaCl}$  25/75; 6 — аммонит 6ЖВ —  $\text{Ba}(\text{NO}_3)_2$  50/50, слоевые заряды.

ше и меньше характерного, поэтому для выяснения влияния размеров частиц на вид  $D(d)$  в сильно разбавленных смесях выбраны фракции с размером частиц выше ( $\delta > 0,5$  мм) и ниже ( $\delta \leq 0,2$  мм) характерного.

Наиболее подробно исследовались смеси гексогена с  $\text{Al}_2\text{O}_3$  ( $\delta \approx 0,5$  и 0,1 мм). На рис. 5 приведен график зависимости  $D(d)$  для смесей гексогена с  $\text{Al}_2\text{O}_3$  и другими добавками при постоянном массовом отношении ВВ — добавка 1 : 3. Видно, что в зависимости от размеров частиц  $\text{Al}_2\text{O}_3$  реализуются два режима детонации, отличающиеся по  $D$  в 1,5—2 раза. Поскольку потенциальная химическая энергия зарядов с различной дисперсностью частиц  $\text{Al}_2\text{O}_3$  одинакова, то этот результат наглядно показывает, что знания ее мало для однозначного предсказания параметров детонации. Различия в скоростях детонации наблюдаются в широком диапазоне изменения диаметров заряда (от критического до предельного) и не связаны с неидеальностью режимов детонации. Для каждого режима зависимость  $D(d)$  имеет плавный вид, качественно подобный большинству индивидуальных пористых ВВ.

Данные по другим добавкам, как правило, близки к  $D(d)$  для  $\text{Al}_2\text{O}_3$  ( $\delta \approx 0,1$  и 0,5 мм). Некоторая особенность наблюдалась для смесей с  $\text{NaCl}$  ( $\delta = 0,5$  и 1,2 мм). Большинство значений  $D$  для этих смесей ложится на верхнюю кривую  $D(d)$  для  $\text{Al}_2\text{O}_3$ . Однако в ряде опытов средние данные из 2—4 опытов одной или различных серий с разбросом  $\pm 3\%$  получались близкими к нижней ветви зависимости  $D(d)$  для  $\text{Al}_2\text{O}_3$  ( $\delta = 0,1$  мм), либо имели промежуточные значения (показаны отдельными точками на рис. 5). Разброс наблюдался при  $d = 20$ —60 мм, но чаще всего при  $d = 20$ —30 мм. По существу, это означает наличие скачков скорости детонации в некотором диапазоне диаметров заряда. Таким образом, в смесях с  $\text{NaCl}$  начальным размером частиц более 0,5 мм при одном и том же диаметре заряда реализуются различные режимы детонации с максимальной скоростью детонации около 4,6 км/с. Поскольку измерения  $D$  производились на конечной базе (20—30 мм), то эти результаты можно было трактовать как следствие закономерных пульсаций самого процесса детонации по мере распространения по заряду, возможность существования которого утверждается в [14] на основе записей профиля массовой скорости.

Попытка зарегистрировать периодические пульсации скорости по длине заряда непрерывной фоторегистрацией свечения в смесях гексогена с  $\text{NaCl}$  ( $\delta = 0,5$  мм) не дала положительных результатов. В большинстве опытов наблюдалась постоянная скорость по всей длине заряда ( $l \approx 10d$ ), а иногда отмечался резкий переход с одного режима на другой вблизи

инициатора. В комбинированных зарядах, состоящих частично из смеси гексогена с  $\text{Al}_2\text{O}_3$  ( $\delta = 0,5$  и  $\delta = 0,1$  мм), одновременно наблюдаются отмеченные выше две скорости с резким переходом в месте контакта смесей с различной дисперсностью добавки.

На рис. 6 приведены данные по фотографической регистрации кривизны детонационного фронта в некоторых смесях. Видно, что фронт сильно искривлен, однако пульсаций поверхности также не обнаруживается. Отношение радиуса кривизны к радиусу заряда составило 3,5—4,5, что близко к индивидуальным ВВ [15]. По-видимому, разброс в значениях  $D$  для смесей с  $\text{NaCl}$  ( $\delta > 0,5$  мм) связан не с периодическими пульсациями процесса детонации, а с различиями в исходном размере зерна из-за дробления частиц при смешении и подготовке зарядов вследствие малой прочности частиц  $\text{NaCl}$ . Очевидно незначительный перелом мог привести к снижению размеров частиц основной массы добавки ниже характерного  $\delta^*$ , что и приводило к резкому снижению скорости детонации при данном диаметре заряда.

При размерах частиц основной массы добавки, несколько больших  $\delta^*$ , к такому же эффекту приводит снижение диаметра заряда в некотором диапазоне, как и в опытах с полидисперсными частицами (см. рис. 3, 4). По этим же причинам, видимо, не удалось зафиксировать больших скоростей детонации в смесях гексогена с  $\text{B}_2\text{O}_3$ ,  $\delta = 0,35$  мм. Скорость детонации в зарядах диаметром 60 мм оказалась близкой к таковой в смесях с мелкодисперсной добавкой. В любых рассматриваемых режимах детонации давление много больше пределов прочности частиц, поэтому они дробятся, что, казалось бы, должно приводить всегда к потерям. Однако при значительных начальных размерах частиц  $\delta > \delta^*$  и малых временах разложения ВВ поверхность контакта продуктов за счет вновь образованной поверхности, видимо, существенно не увеличивается. Поэтому важна начальная поверхность, определяемая исходным размером частиц и пористостью заряда. При использовании в рассматриваемых смесях с гексогеном частиц  $\text{NaCl}$  ( $\delta \leq 0,2$  мм, ниже  $\delta^*$ ), как и в смесях с другими мелкодисперсными добавками, стабильно получаются низкие скорости детонации (см. рис. 5, 6). При одинаковых диаметрах заряда абсолютное значение скорости детонации в этих смесях существенно ниже, чем в аналогичных смесях с  $\text{Al}_2\text{O}_3$  или  $\text{SiC}$ ,  $\delta = 0,1$  мм. Вероятно, в этом случае заметную роль в теплопотерях играет и вновь образованная поверхность. Помимо временных соотношений, возможно, важен и характер самого процесса разрушения частиц различных добавок во фронте детонационной волны, что может быть предметом самостоятельных исследований.

Таким образом, из приведенных данных следует некоторый общий вывод: наличие в смеси частиц добавки с широким спектром размеров (больше и меньше  $\delta^*$  кривой  $d_{kp}(\delta)$ ) приводит к  $S$ -образной зависимости  $D(d)$ . Сокращение дисперсии и близость размеров частиц добавки к  $\delta^*$  дают скачок на зависимости  $D(d)$ , и, наконец, разграничение размеров частиц добавки (ниже и выше  $\delta^*$ ) приводит к двум ветвям зависимости  $D(d)$  смеси с одинаковым массовым составом ВВ. Использование в той же смеси порошков  $\text{Al}_2\text{O}_3$  с  $\delta = 0,1$  и 0,5 мм в весовом отношении 50/50 дает промежуточный по параметрам детонации режим.

Поскольку при изменении размера частиц добавки в смеси заданного состава структура его практически не меняется (остается большая пористость) и потери на сжатие и разгон добавки одинаковы, то наблюдаемые скачки на зависимости  $D(d)$  или ее разделение на две ветви невозможно объяснить качественным изменением механизма разложения ВВ, как это предполагалось в работах [4, 12]. Об этом же свидетельствует и сравнение амплитуды ударной волны, при которой происходит скачок, с давлениями, необходимыми для гомогенного нагрева и разложения ВВ. Как показано в [16], характерное давление  $p^*$ , выше которого разложение

ние твердых ВВ близко к гомогенному взрыву (велика концентрация очагов), существенно зависит от структуры заряда и составляет для пористых зарядов ( $\rho_0 \approx 1,0$  г/см<sup>3</sup>) около 70 кбар ( $D \approx 4,0$  км/с). Скачки скорости детонации в смесях NaCl (см. рис. 3) наблюдаются при явно меньших параметрах в области одного и того же механизма разложения («горячие точки»). Анализ данных работ [3, 11] показывает, что наблюдавшиеся скачки скорости детонации в смесях гексоген — парафин и гексоген — тальк лежат в области высоких давлений ( $D > 6,0$  км/с), при которых следует ожидать разложения ВВ в форме, близкой к гомогенному взрыву. Не исключено, конечно, появление скачков скорости и скачков других параметров на зависимостях от диаметров заряда в области давлений, близких к  $\rho^*$ , где осуществляется переход от одного крайнего случая к другому.

Изложенное выше говорит о том, что в появлении скачков конкретный механизм разложения ВВ не является определяющим фактором. По-видимому причина их возникновения есть неустойчивость детонационного режима, связанная со сложной кинетикой физико-химических процессов в зоне реакции. Из теоретического анализа работы [17] следует, что при немонотонном выделении тепла (наряду с экзотермической реакцией разложения ВВ происходят эндотермические процессы) возможно существование нескольких режимов детонации в зарядах безграничного диаметра как устойчивых, так и неустойчивых относительно перехода одного в другой. Степень влияния эндотермических процессов, связанных с наличием добавок в смеси, зависит от процентного содержания, дисперсности, теплофизических свойств добавок и диаметра заряда (уменьшение  $d$  качественно действует так же, как эндотермическая реакция, что приводит к многообразию кривых  $D(d)$ ) (см. рис. 3—5).

При достаточно большом размере частиц добавки ( $\delta > 0,5$  мм в смесях с гексогеном) процессы поглощения тепла за счет прогрева добавки несущественны, и наблюдается типичная для индивидуальных пористых ВВ плавная зависимость  $D(d)$ , обусловленная влиянием только боковых волн разрежения. При этом не только  $D(d)$ , но и критическая скорость детонации смеси близка к критической скорости детонации индивидуального пористого ВВ. Так, для зарядов тротила, гексогена и тэна ( $\rho_0 = 0,9—10$  г/см<sup>3</sup>) она составляет для нормальных режимов детонации 3,5—4,0 км/с [12, 13]. В смесях гексогена с содержанием 75% Al<sub>2</sub>O<sub>3</sub> критическая скорость детонации близка к 3,3 км/с. В данном случае уменьшение диаметра заряда вплоть до критического и связанное с этим снижение давления на фронте волны, а также увеличение времени разложения не в состоянии перевести режим детонации на нижнюю ветвь зависимости  $D(d)$ , характерную для смесей с мелкодисперсной ( $\delta \approx 0,1$  мм) добавкой. В смесях гексогена с мелкодисперсной добавкой даже в идеальных режимах детонации потери на прогрев значительны, и уменьшение диаметра заряда также не приводит к качественным особенностям зависимости  $D(d)$  (плавная кривая). Отметим лишь, что критическая скорость детонации, как и в других смесях с мелкодисперсной добавкой, падает до 1,5—2 км/с. Это позволяет заключить, что в пористых зарядах близких структур она определяется суммарным тепловыделением в зоне реакции.

Оба рассматриваемых режима детонации в смесях гексогена с добавками Al<sub>2</sub>O<sub>3</sub> дисперсностью 0,5 и 1,0 мм устойчивы к возмущениям, связанным с уменьшением диаметра заряда. Неустойчивость появляется в смесях с широким спектром размеров частиц добавки. Тесная связь этих размеров с  $\delta^*$  кривой  $d_{kp}(\delta)$  указывает на то, что при уменьшении диаметра заряда ниже некоторого малое возмущение газодинамических величин приводит к «включению» тепловых потерь (прогрев, фазовый переход и т. п.) на добавку. Причем влияние этого фактора оказывается гораздо сильнее, чем влияние диаметра заряда, его «породившего». В ре-

зультате потери устойчивости устанавливается новый режим с меньшими параметрами (в соответствии с суммарным тепловыделением). Для него уменьшение диаметра заряда в некотором диапазоне несущественно (низкие параметры, слабый разлет), что обуславливает наличие плато на зависимости  $D(d)$  после скачка.

В рассматриваемых экспериментах неустойчивость детонационных режимов наблюдается при изменении только дисперсности добавки и диаметра заряда. Очевидно, соотношение между скоростями протекания экзотермических и эндотермических процессов можно изменять, влияя непосредственно на скорость разложения самого ВВ, например, изменения размера его частиц при прочих равных условиях, как это имело место при сравнительно низких давлениях в смесях гексоген — тальк 50/50 в работе [11].

Кроме особенностей в виде зависимостей  $D(d)$  необходимо отметить сокращение различия между  $D_{kp}$  и  $D_{id}$  по мере роста содержания инертной добавки. Как видно на рис. 3, 4, соотношение  $D_{kp}/D_{id}$  достигает 0,8 в смесях с содержанием добавки 75—85%. И это, по-видимому, не предел. Формально по этому критерию по мере увеличения  $\alpha$  происходит приближение к жидким и сплошным ВВ, хотя структура заряда остается сильно пористой. Возможно, одна из причин этого состоит в том, что во всех опытах использовалось ВВ с довольно мелким размером частиц (штатный гексоген,  $\delta \approx 0,1$  мм; молотый тротил,  $\delta < 0,2$  мм). Причем по мере увеличения  $\alpha$  ВВ при смешивании могло дробиться до более мелких размеров, становясь однороднее по дисперсности в размерах частиц, что и приводит к увеличению  $D_{kp}/D_{id}$ , как и в индивидуальных пористых ВВ с мелкодисперсными частицами. Кроме того, по мере увеличения  $\alpha$ , возможно, начинают сказываться и специфические факторы (малая доля ВВ, увеличение инерционных свойств среды, непосредственное влияние добавки на механизм разложения ВВ), что также приводит к увеличению  $D_{kp}/D_{id}$ . В принципе, видимо, при некоторых условиях можно плавно перевести режим детонации с верхней ветви ( $D_{kp} \approx 3,5$ —4,0 км/с) на нижнюю ( $D_{kp} = 1,5$ —2 км/с), как, например, это удается сделать в пористых зарядах тэна малого диаметра в трубках путем изменения размеров частиц ВВ [18]. Тогда формально  $D_{kp}/D_{id}$  уменьшится до 0,3—0,4. Однако это исключение, а не правило, как и низкоскоростные режимы детонации в твердых и жидких ВВ.

Полученные данные позволяют провести некоторую аналогию в причинах появления скачков на зависимости  $D(d)$  в смесях с инертной добавкой и индивидуальными твердыми ВВ (резкий переход от нормальной к низкоскоростной детонации при уменьшении диаметра заряда). Возможность существования в сильноразбавленных смесях стационарных режимов детонации ( $D = 1,5$ —2,0 км/с) есть прямое подтверждение известных выводов о том, что часть ВВ при низкоскоростной детонации не реагирует за характерные для детонации времена. По существу, такой режим можно рассматривать как детонацию сильноразбавленной смеси («горячие точки» — «инертное» окружение). Непосредственной причиной скачка на кривой  $D(d)$  после некоторого участка плавного спада являются, как и в сильноразбавленных смесях, слабые газодинамические возмущения, связанные с уменьшением диаметра заряда. Они приводят к «срыву» реакции в наименее нагретой массе ВВ, который самостоятельно продолжается до тех пор, пока не установится новый квазистационарный режим со своими характеристиками и разложением части ВВ в «горячих точках». Отличие состоит в том, что в смесях с инертными добавками ВВ может реагировать полностью и окружение действительно инертно, что делает возникающие режимы более устойчивыми, чем в индивидуальном ВВ.

В заключение отметим, что на примере детонации сильноразбавленных смесей с инертной добавкой особенно четко видно влияние физико-

химических процессов в зоне реакции на скорость и другие характеристики детонации. Очевидно, подобное явление имеет место и при детонации других систем со сложной кинетикой тепловыделения. В частности, в работе [19] отмечались скачки на зависимости  $D(d)$  в системах гексоген — жидкий наполнитель (20—30% по массе). Большинство промышленных ВВ для горных работ и смесей для сварки взрывом относится к такого типа системам.

Поступила в редакцию  
22/III 1979

#### ЛИТЕРАТУРА

1. К. К. Шведов, А. Ильин. Химическая физика процессов горения и взрыва. Детонация, Черноголовка, 1977.
2. К. К. Шведов, А. Ильин, А. Н. Дремин. III Международный симпозиум по обработке металлов взрывом. Сб. докладов, т. 2. Мариапске — Лазне, 1976.
3. А. Я. Анин, Г. В. Димза. Докл. АН СССР, 1970, 192, 4.
4. Ю. Б. Харитон. В сб.: Вопросы теории ВВ. Вып. 1. М., Изд-во АН СССР, 1947.
5. Б. Н. Кукиб. В сб.: Взрывное дело, № 60/17. М., Недра, 1976.
6. Р. Х. Курбангалия. ПМТФ, 1969, 4.
7. А. Я. Анип, Л. Н. Стесик. ПМТФ, 1965, 2.
8. Р. Х. Курбангалия, С. С. Рыбанин, Л. Н. Стесик. В сб.: Горение и взрыв. М., Наука, 1972.
9. Ф. А. Баум, Б. И. Шехтер, К. П. Станюкович. Физика горения. М., Наука, 1959.
10. А. Я. Анип, И. М. Воскобойников, Г. С. Соснова. ПМТФ, 1963, 5.
11. Г. В. Димза. В сб.: Взрывное дело, № 74/31. М., Недра, 1974.
12. А. К. Парфенов, И. М. Воскобойников. ФГВ, 1969, 5, 3.
13. К. К. Шведов, С. А. Колдунов, А. Н. Дремин. ФГВ, 1973, 9, 3.
14. В. Г. Хотин, В. А. Пономарев. ФГВ, 1973, 9, 2.
15. M. A. Cook. The Science of High Explosives New — York, Reinhold Publ. Corp. 1958.
16. К. К. Шведов, А. Н. Дремин. В сб.: Горение и взрыв. М., Наука, 1977.
17. Н. М. Кузнецова. ЖЭТФ, 1967, 52, 1.
18. S. Paterson, P. Lamb. Les ondes de Detonation. Edidions du centre vational de La Recherche Scientifique. Anatole — France — Paris, 1962.
19. К. К. Шведов, А. А. Кривченко, В. П. Сальников. ФГВ, 1978, 14, 5.

#### ЗАМКНУТАЯ МОДЕЛЬ ПРЯМОГО ИНИЦИРОВАНИЯ ГАЗОВОЙ ДЕТОНАЦИИ С УЧЕТОМ НЕУСТОЙЧИВОСТИ.

##### I. ТОЧЕЧНОЕ ИНИЦИРОВАНИЕ

B. Ю. Ульянцкий

(Новосибирск)

В настоящее время известен ряд полуэмпирических моделей прямого инициирования газовой детонации, где получены формулы для расчета критической энергии. Качественные характеристики процесса инициирования в большинстве из них либо вообще не рассматриваются, либо весьма далеки от реальных. Наиболее распространенные из этих моделей [1—6] рассмотрены в настоящей работе.

Первая физическая модель инициирования предложена в [1], где в результате учета конечной скорости реакции показано, что скорость инициирующей волны может проходить через минимум, а существование критической энергии определяется задержками воспламенения. В качестве необходимого условия возбуждения детонации предложен критерий: «время действия ударной волны к моменту, когда ее амплитуда равна амплитуде стационарной детонационной волны, должно быть не менее